Практикум 8.

Задание 1.

В рамках первого задания я работала со структурой эндонуклеазы Fokl из *Planomicrobium okeanokoites* (PDB: 1FOK). Этот фермент связывает определенную последовательность ДНК и вносит неспецифический разрыв на некотором расстоянии от неё. ДНК — субстрат сложного строения, поэтому для такого рода фермента можно ожидать наличия нескольких доменов, ответственных за осуществление связывания ДНК и внесения разрыва.

Сначала попробуем предсказать наличие доменов методом SplitValue (индекс разделенности). Эта функция применяется для предсказания остатков, находящихся на границах между доменами, в рамках алгоритма DOMAK, опубликованного в 1995 году. Для расчета SplitValue для каждого остатка структуру условно делят на две части: от N-конца до рассматриваемого остатка и от следующего остатка до С-конца — и подсчитывают количество контактирующих пар остатков, которые образуются внутри каждой из двух подструктур и между ними. Таким образом, алгоритм основывается на определении структурного домена, согласно которому остатки в составе одного домена образуют много взаимодействий между собой и практически не имеют контактов с остатками других доменов. Формула SplitValue имеет следующий вид:

$$SplitValue = \frac{intA * intB}{extAB^2}$$

Где intA, intB — контактирующих пар остатков внутри подструктур A (от N-конца до рассматриваемого остатка) и В (от рассматриваемого остатка до С-конца), extAB — число таких контактов, где один остаток принадлежит A, а другой — В. Эта метрика максимизируется, когда внутри предполагаемых доменов A и В контактирующих пар остатков образуется много, и в то же время между доменами — достаточно мало. Я реализовала эту функцию для рассматриваемой структуры и получила значения индекса разделенности для каждого остатка, которые отражены на графике на рисунке 1.

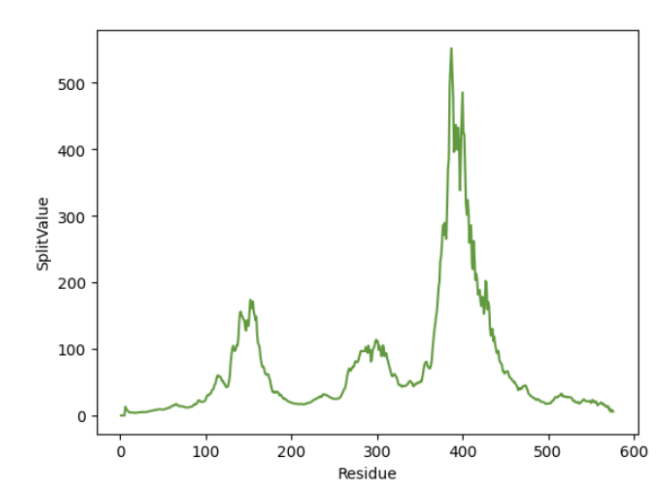


Рисунок 1. Значения функции SplitValue в зависимости от номера остатка. Три пика соответствуют остаткам 151, 298 и 386

На графике можно выделить три пика: 151, 298 и 386 остатки, причем третий более убедителен, но я решила принять во внимание все три. Пики меньшей высоты в непосредственной близости от 151, 298 и 386 я не рассматриваю отдельно, так как «расширенные» пики, вероятно, соответствуют протяженным линкерам между доменами, и в таком случае все позиции этого пика находится на одной и той же границе. Условно я провожу эту границу по остатку с максимальным значением SplitValue. Результат представлен на рисунке 2, биологическое значение найденных доменов будет описано далее.

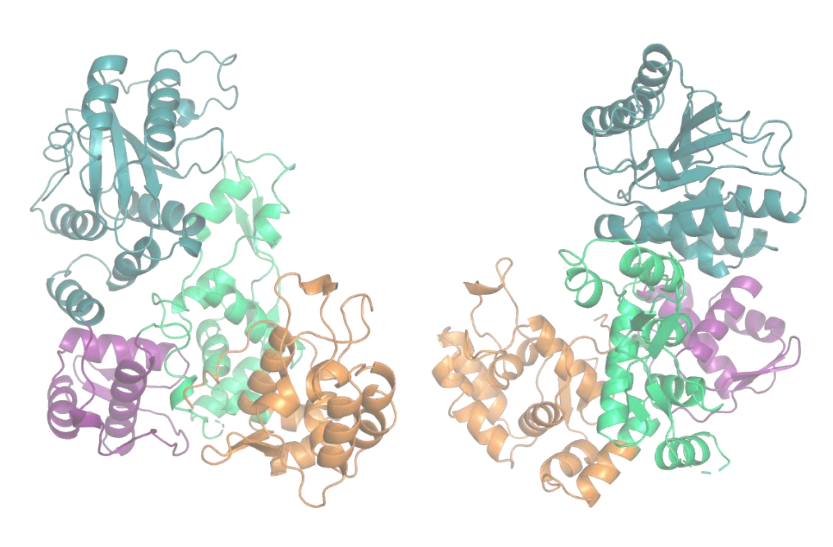


Рисунок 2. Доменная организация эндонуклеазы Fokl, согласно SplitValue. Желтым показаны остатки 1-150, зеленым — 151-297, фиолетовым — 298-385, бирюзовым — 386-576. <u>Ссылка на сессию</u>

Как по графику SplitValue, так и по приведенному выше рисунку можно предположить, что точность выделения С-концевого домена выше, чем N-концевых: он отделен длинным неупорядоченным линкером и достаточно обособлен пространственно, чтобы можно было говорить о минимизации контактов с остальными доменами. Также ему соответствует более выдающийся пик SplitValue. N-концевым доменам соответствуют более сглаженные пики. Для первого пика его максимум лежит на альфа-спирали, соединяющей данный домен с центральным. Это уже предполагает меньшую структурную обособленность. Как видно на рисунке, в структуре оранжевого N-концевого домена есть короткий линкер, и, вероятно, граница по нему была бы более ожидаема, но с двух сторон от него находятся две альфа-спирали, расстояние между которыми допускает наличие контактов между боковыми радикалами составляющих их аминокислотных остатков. Вероятно, это является причиной именно такого разделения, предложенного алгоритмом. Граница между зеленым и фиолетовым доменами сомнений не вызывает, так как проходит через неупорядоченный участок и разделяет не контактирующие между собой элементы укладки.

Задание 2.

Разные базы данных предлагают различные варианты выделения структурных и функциональных доменов, однако каждая классификация включает ДНК-связывающие N-концевые и рестрикционные С-концевые. Варианты выделения этих доменов представлены в таблице 1.

Таблица 1. Границы	доменов Fokl,	согласно разным	базам данных
--------------------	---------------	-----------------	--------------

База данных	ДНК-связывающий домен	Рестрикционный домен
CATH	1-289, 299-385	398-575
SCOP	12-129, 156-265, 298-366	416-519
SCOPe	1-140, 141-278, 284-383	384-576
Pfam	3-138	384-573
*InterPro	3-136, 145-279, 293-359	384-571

Как видно из таблицы, предположение о том, что N-концевой домен на самом деле должен быть короче, подтверждается данными SCOP, SCOPe и Pfam. При этом в CATH, SCOP и SCOPe предложено выделять несколько ДНК-связывающих доменов, тогда как в Pfam — только один (выделен еще один домен 293-360 без определенной функции). На рисунках 3-6 визуализировано разделение на домены по версии этих четырех источников. Я акцентировала внимание на доменах, для которых определена функция в структуре. Также для каждого разбиения на домены представлена структура со связываемой молекулой ДНК.

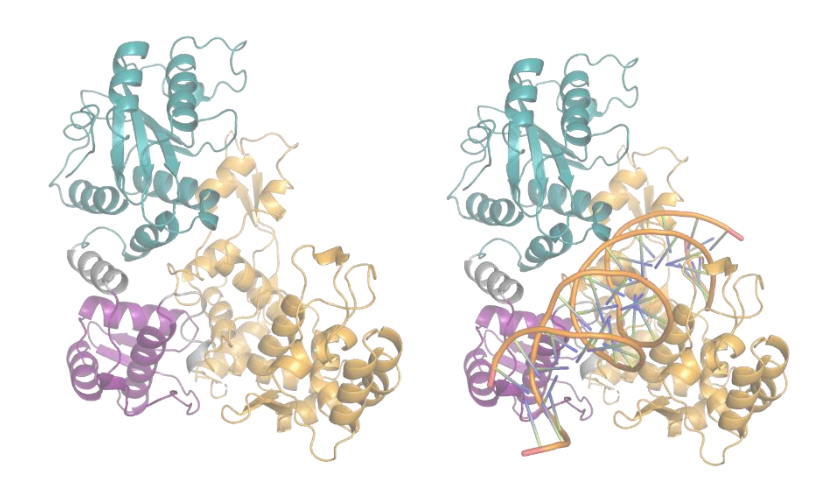


Рисунок 3. Разделение на домены, согласно САТН. Оранжевым и фиолетовым показаны ДНК-связывающие домены, бирюзовым – рестрикционный, серым – участки, не входящие в домены

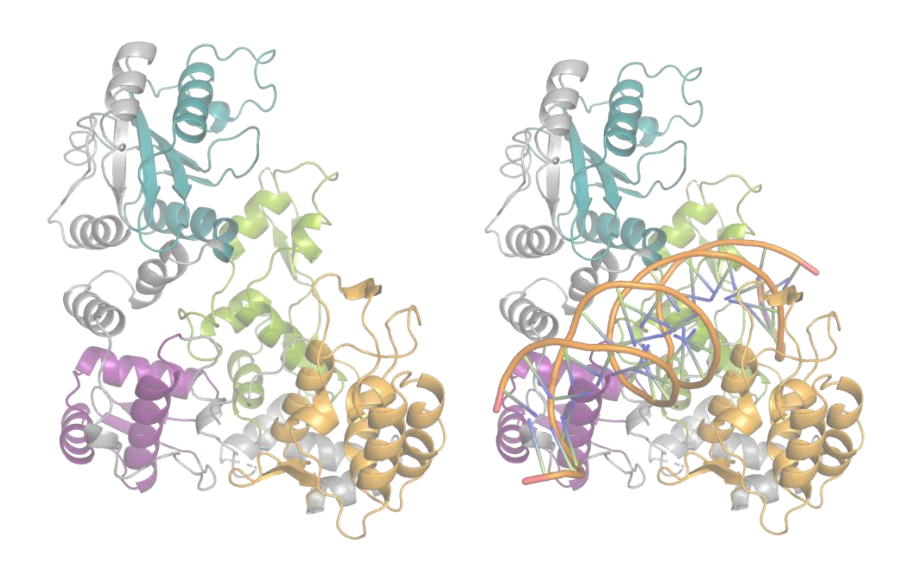


Рисунок 4. Разделение на домены, согласно SCOP. Оранжевым, зеленым и фиолетовым показаны ДНК-связывающие домены, бирюзовым — рестрикционный, серым — участки, не входящие в домены

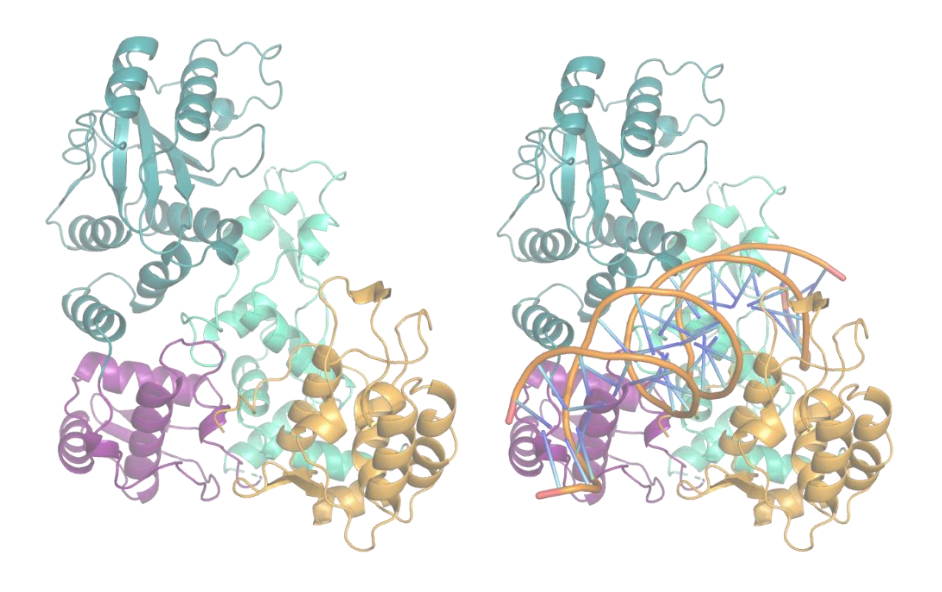


Рисунок 5. Разделение на домены, согласно SCOPe. Оранжевым, зеленым и фиолетовым показаны ДНК-связывающие домены, бирюзовым – рестрикционный, серым – участки, не входящие в домены

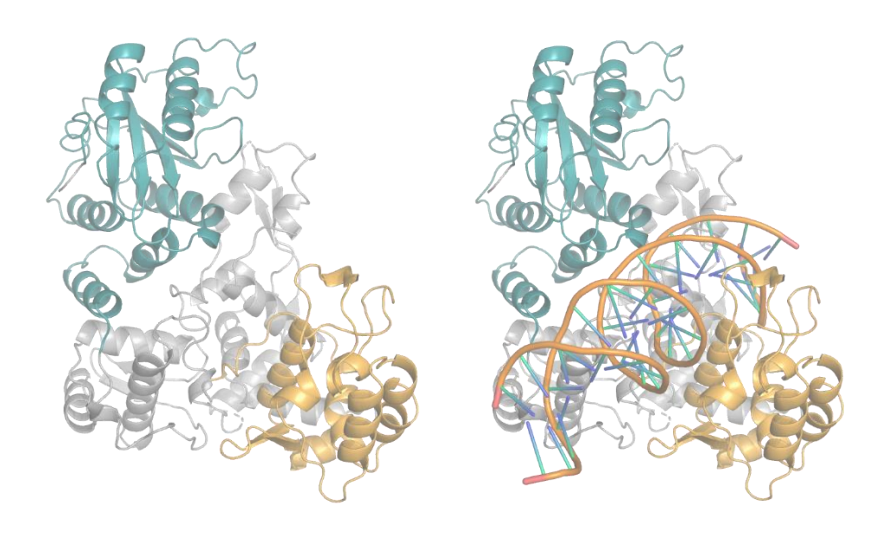


Рисунок 6. Разделение на домены, согласно Pfam. Оранжевым показан ДНК-связывающий домен, бирюзовым рестрикционный, серым — участки, не входящие в домены

Обобщая наблюдения, можно отметить следующее:

- Во всех базах данных, кроме SCOP, С-концевой рестрикционный домен выделен практически одинаково, и его граница приблизительно совпадает с предсказанной по SplitValue
- Центральный домен присутствует не во всех базах данных, но его граница очень четко предсказывается SplitValue, что неожиданно, учитывая низкий и широкий пик на графике
- Выделение С-концевого домена неоднозначно, SplitValue предсказывает его неточно
- Данные SCOPe по значениям ближе всего к полученным из SplitValue

ДНК-связывающий домен Fokl распознает фрагмент 5'-GGATG-3', рестрикционный — вносит разрывы на расстоянии 9 и 13 пар оснований от данного фрагмента. Согласно статье [1], распознающий ДНК домен состоит из трех субдоменов D1, D2, D3 (рисунок 7). 3'-конец специфичной последовательности распознается доменом D1 (главным образом спираль α 6), 5' — субдоменом D2 (спираль α 5). Оба домена образуют характерные для рестриктаз НТН-мотивы. Он есть и в домене D3, но его основная роль — связь распознающего ДНК домена с рестрикционным.

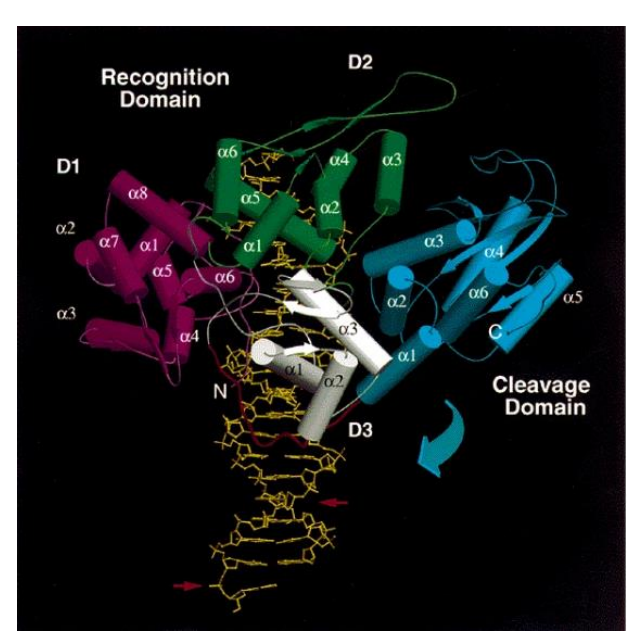


Рисунок 7. Доменная организация Fokl, согласно публикации [1]. ДНК-связывающие субдомены показаны малиновым, белым и зеленым, рестрикционный — голубым

Описанному разбиению на домены наилучшим образом соответствуют результат SplitValue и данные SCOP и SCOPe, участвующие в связывании ДНК спирали отнесены к правильным доменам. САТН объединяет D1 и D2 в один домен (обе ключевые для связывания ДНК спирали в одном домене), Pfam выделяет только один ДНК-связывающий домен (D1). Рестрикционный домен выделен приблизительно верно везде, так как несмотря на разные варианты границ, каталитические остатки Asp450, Asp467 и Lys469 входят в его состав. Кстати, положение каталитических остатков не в кармане связывания ДНК, а в удаленном от места связывания домене, довольно необычно, как полагают авторы статьи, в которой данная структура была описана. Между двумя функциональными доменами существует сложная сеть преимущественно электростатических внутрибелковых взаимодействий, опосредованных линкерным фрагментом и субдоменами D2 и D3. При активации фермента эти взаимодействия замещаются взаимодействиями с ДНК.

Задание 3.

Далее я запустила поиск InterPro по последовательности белка, и результат получился вполне красивым и вполне ожидаемым: найдены и определены все 4 домена:



Координаты найденных доменов указаны выше в таблице 1, они приблизительно соответствуют содержащимся в других базах данных и найденным с помощью SplitValue. Функции доменов в составе белка, очевидно, соответствуют описанным InterPro. На рисунке 8 полученное разделение на домены показано на структуре.

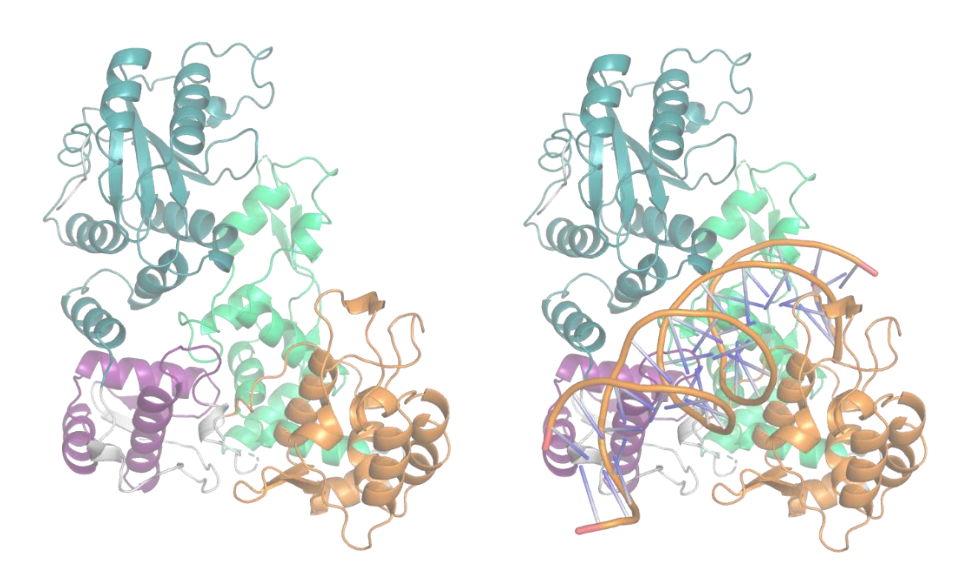
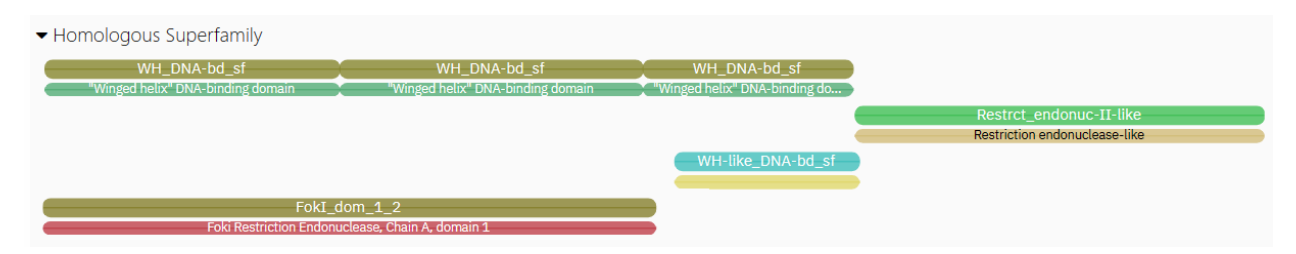


Рисунок 8. Разделение на домены, согласно InterPro. Оранжевым (D1), зеленым(D2) и фиолетовым(D3) показаны ДНКсвязывающие домены, бирюзовым – рестрикционный, серым – участки, не входящие в домены

Теперь можно с уверенностью сказать, что на рисунке 2 оранжевый домен соответствует D1, зеленый – D2, фиолетовый – D3, бирюзовый – рестрикционному.

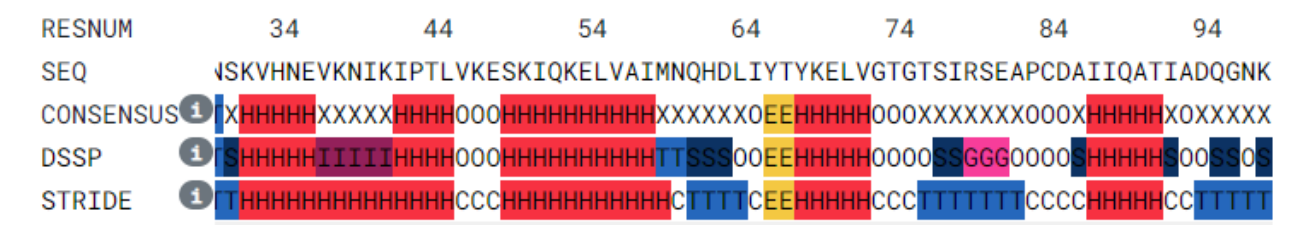


Также InterPro позволяет получить данные о семействах, к которым относятся найденные домены. Так, ДНК-связывающие домены относятся к суперсемейству «winged helix» — содержащих «крылатый» мотив спираль-поворот-спираль (НТН), где роль «крыльев» играют небольшие беталисты или петли. Мотив содержит два «крыла» (W), три альфа-спирали (H) и три бета-листа (S), расположенные в порядке H1-S1-H2-H3-S2-W1-S3-W2. Одна из альфа-спиралей такого домена распознает специфическую последовательность ДНК [2].

Рестрикционный домен является родственным эндонуклеазам рестрикции II типа. Для этих доменов характерно наличие топологической структуры $\alpha/\beta/\alpha$. Эндонуклеазы рестрикции II типа являются сайт-специфичными и вносят специфичный двуцепочечный разрыв, оставляя фосфат на 5'-конце. Сайт рестрикции находится рядом с сайтом узнавания. Чаще это гомодимерные ферменты, сайт узнавания которых представляет собой палиндром [3].

Задание 4.

Я воспользовалась программой 2Struc для аннотации вторичной структуры моего белка двумя алгоритмами: DSSP и STRIDE. Как видно уже по начальному фрагменту, представленному ниже, в аннотациях довольно много мелких различий, несмотря на общую схожесть.



Я рассмотрю подробно участок с 32 по 45 остаток, который представляет собой альфа-спираль по версии STRIDE и альфа-спираль с вставкой пи-спирали по версии DSSP. Определить, какова на самом деле вторичная структура участка, можно путем определения расстояния между аминокислотными остатками, атомы остова которых образуют водородные связи.

На рисунке 9 показана интересующая нас спираль с отмеченными водородными связями. Как можно заметить сразу, PyMol не определяет элемент как обычную альфа-спираль, и в ней действительно наблюдается изгиб, характерный для π -спиралей. Рассмотрев водородные связи, видим, что практически по всей длине сохраняется типичная для α -спирали структура 4_{13} (водородные связи между 32-36, 33-37, 34-38, 35-39, 36-40), однако на 39-41 остатках происходит нарушение структуры — вставка «лишнего» остатка в спираль, приводящая к увеличению диаметра витка и изгибу спирали. В результате, помимо водородной связи 36-40, образуется связь 36-41, что соответствует уже структуре π -спирали 5_{16} . Далее паттерн i-i+5 повторяется: водородная связь между 37 и 42 остатком. Затем структура спирали снова нарушается, так как на позиции 43 находится пролин, не способный образовывать водородные связи через азот, в результате чего атомы кислорода 38 и 39 остатков не образуют водородных связей. Затем восстанавливается

обычная структура α -спирали i-i+4: водородные связи 40-44, 41-45. Таким образом, рассматриваемый элемент вторичной структуры не является обычной α -спиралью, следовательно, аннотация его методом STRIDE неверна. DSSP предсказал π -спираль с 37 по 41 остаток, что не совсем верно, так как 40 и 41 остатки уже образуют водородные связи, характерные для обычной α -спирали, но сам тип структуры предсказан успешно.

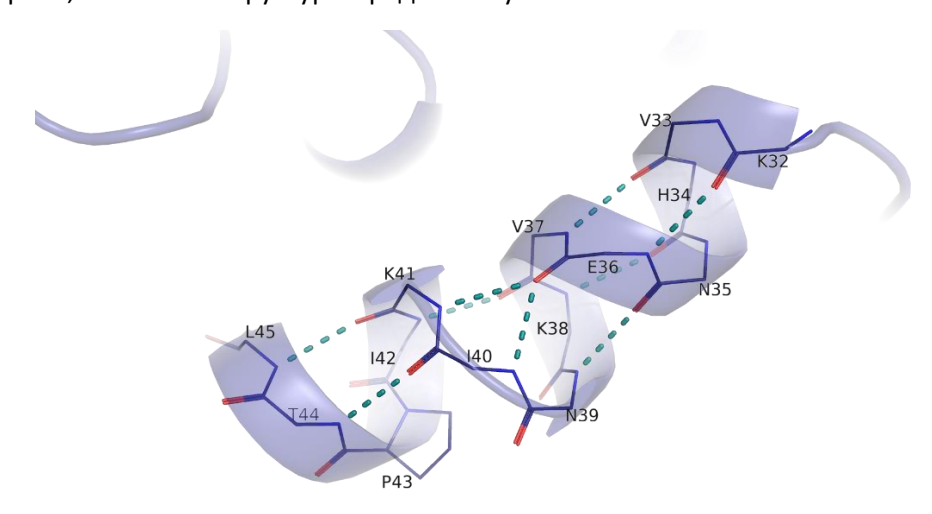


Рисунок 5. Спираль 32-45 с неопределенной структурой. Ссылка на сессию

Оба метода для определения вторичной структуры рассматривают водородные связи остова для каждого остатка, детектируют предпочтительный тип вторичной структуры для имеющегося набора углов и наращивают элементы структуры из отдельных остатков, для которых она определена. Отличие STRIDE заключается в том, что этот алгоритм для верификации результата использует данные экспертных аннотаций. Вероятно, это мешает ему находить нетипичные структуры, которых довольно мало в базе данных. Такой эффект наблюдался по всей длине выравнивания: STRIDE чаще делает выбор в пользу более типичных структур - α -спиралей и β -листов, вероятно, за счет того, что алгоритм обычно делает выбор в пользу часто встречающихся в базах данных элементов. DSSP свободен от таких предубеждений, поэтому набор его предсказаний более разнообразен и, вероятно, более точен, так как лучше описывает нюансы организации конкретной структуры.

Список литературы

- 1. Wah, D., Hirsch, J., Dorner, L. et al. Structure of the multimodular endonuclease Fokl bound to DNA. Nature 388, 97–100 (1997)
- 2. Winged helix proteins. Gajiwala KS, Burley SK. Curr. Opin. Struct. Biol. 10, 110-6, (2000)
- 3. Type II restriction endonucleases: structure and mechanism. Pingoud A, Fuxreiter M, Pingoud V, Wende W. Cell. Mol. Life Sci. 62, 685-707, (2005).